

## ژئوشیمی و سنگ‌شناسی سنگ‌های آتشفشانی شمال شرق نراق: ماگماتیسزم جزایر قوسی یا حواشی قاره‌ای فعال؟

شاهین شهریاری، محمدرضا قربانی\*، رسول نصیری بزنجانی

گروه زمین‌شناسی، دانشکده علوم پایه، دانشگاه تربیت مدرس، تهران، ایران

(دریافت مقاله: ۸۹/۲/۲۵، نسخه نهایی: ۸۹/۶/۸)

**چکیده:** محیط‌های زمین‌ساختی ارائه شده توسط پژوهشگران مختلف برای تعیین محیط زمین‌ساختی کمربند آتشفشانی-پلوتونیک ارومیه-دختر شامل حاشیه‌های قاره‌ای فعال، ریف‌ت و پسا بر خوردند. ولی به طور کلی بررسی‌های ژئوشیمی و زمین‌ساختی، وابستگی این مجموعه را به حاشیه‌های قاره‌ای فعال نشان می‌دهند. سنگ‌های آندزیت بازالتی، آندزیت، تراکی آندزیت، تراکی داسیت، داسیت و ریولیت‌های شمال شرق نراق واقع در کمان ماگمایی ارومیه-دختر با سن ائوسن از نظر ژئوشیمی عناصر اصلی و نادر همبستگی‌هایی را با جزایر قوسی آتشفشانی نشان می‌دهند. این سنگ‌ها در مقایسه با سنگ‌های جزایر قوسی مانند ماریانا و حاشیه‌های فعال مانند آند در گستره‌ی حد واسط بین این دو گروه سنگی قرار می‌گیرند. شرایط ویژه زمین‌ساختی و ضخامت کم پوسته‌ی ایران مرکزی حین فرورانش پوسته‌ی اقیانوسی نئوتیس به زیر آن، منجر به تشکیل سنگ‌هایی با همبستگی ژئوشیمیایی جزایر قوسی در منطقه‌ی شمال شرق نراق شده است.

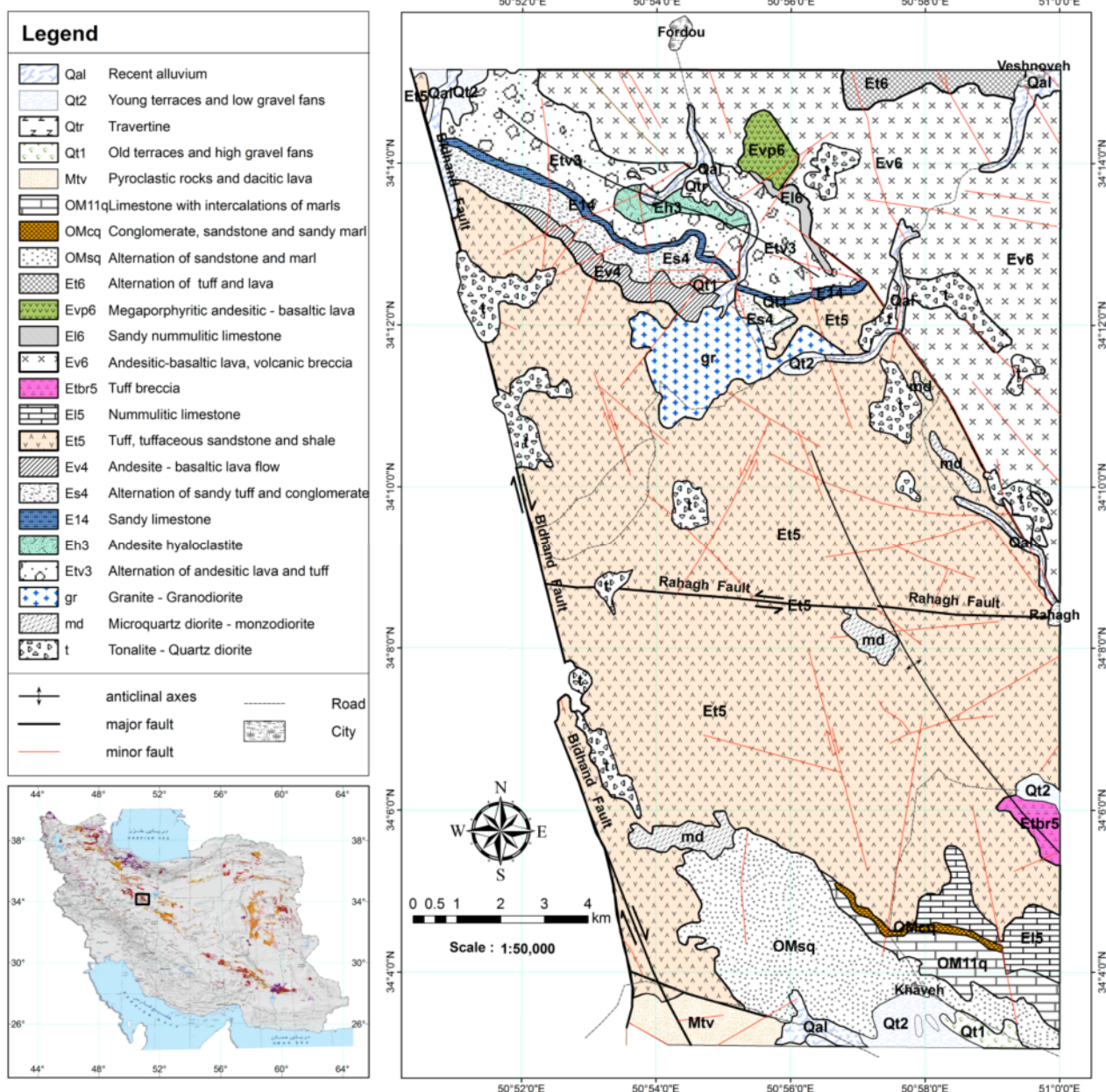
**واژه‌های کلیدی:** ژئوشیمی؛ سنگ‌شناسی؛ سنگ‌های آتشفشانی؛ جزایر قوسی؛ حواشی قاره‌ای فعال؛ نراق.

### مقدمه

واحد سنگی  $E_3$ ,  $E_4$ ,  $E_5$ ,  $E_6$  است که با ویژگی‌های سنگ-شناسی و وجود برخی واحدهای کربناتی فسیل‌دار از یکدیگر جدا شده‌اند [۲]. پدیده‌ی آتشفشانی در گستره‌ی مورد بررسی گاه شدید و انفجاری بوده و انواع مواد آذرآواری را پدید آورده و گاه آهنگ ملایمی داشته و روانه‌های گدازه را ایجاد کرده است. در این مقاله نخست به سنگ‌نگاشتی و رده‌بندی ژئوشیمیایی و نامگذاری سنگ‌های منطقه، سپس به جزئیات ژئوشیمی عناصر اصلی و نادر، خاستگاه زمین‌ساختی ماگمایی و خاستگاه سنگ‌های منطقه‌ی مورد بررسی می‌پردازیم.

منطقه‌ی مورد بررسی در شمال شرقی نراق، ۲۰ کیلومتری شمال شرقی دلیجان و ۳۰ کیلومتری شمال غربی کاشان قرار گرفته و دارای مختصات جغرافیایی به طول  $51^\circ 51'$  تا  $50^\circ$  تا  $51^\circ 00'$  و عرض  $34^\circ 03'$  تا  $34^\circ 15'$  است (شکل ۱). منطقه‌ی مورد نظر، از نظر تقسیمات زون‌های ساختاری-رسوبی [۱] جزء کمان ماگمایی ارومیه-دختر و تقریباً در بخش میانی آن قرار گرفته است.

از نظر سنگ‌چینه‌نگاری (شکل ۱)، این مجموعه شامل ۴



شکل ۱ نقشه زمین‌شناسی منطقه‌ی مورد بررسی [۲].

**موقعیت زمین‌شناسی سنگ‌های منطقه‌ی مورد بررسی**

منطقه‌ی مورد بررسی دارای دنباله‌ای از مواد آتشفشانی است و در بخش میانی کمان ماگمایی ارومیه- دختر واقع شده است. کمان ماگمایی ارومیه- دختر از سوی پژوهشگران زیادی مورد بررسی قرار گرفته است. برخی پژوهشگران با بررسی‌های ژئوشیمیایی گروه‌های مختلف سنگی، همچون سنگ‌های آهکی- قلیایی [۳-۵]، آهکی- قلیایی- تولیتی [۶] و قلیایی [۷، ۸]، این سنگ‌های آتشفشانی را به سیستم‌های فروانش

وابسته می‌دانند. همچنین حسن‌زاده [۷] با بررسی سنگ‌های آذرین شهر بابک، این سنگ‌ها را به حاشیه‌های قاره‌ای فعال نسبت می‌دهد. قاسمی و تالبوت<sup>۱</sup> [۹] محیط پسا برخورد را برای سنگ‌های آذرین ائوسن میانی به بعد پیشنهاد کرده‌اند. عمیدی [۱۰] و امامی [۱۱] سنگ‌های آتشفشانی قلیایی این کمان را به ریفت وابسته می‌دانند. بربریان [۱۲] با توجه به فوران گدازه‌های قلیایی در شمال غرب ایران که به دنبال سنگ-

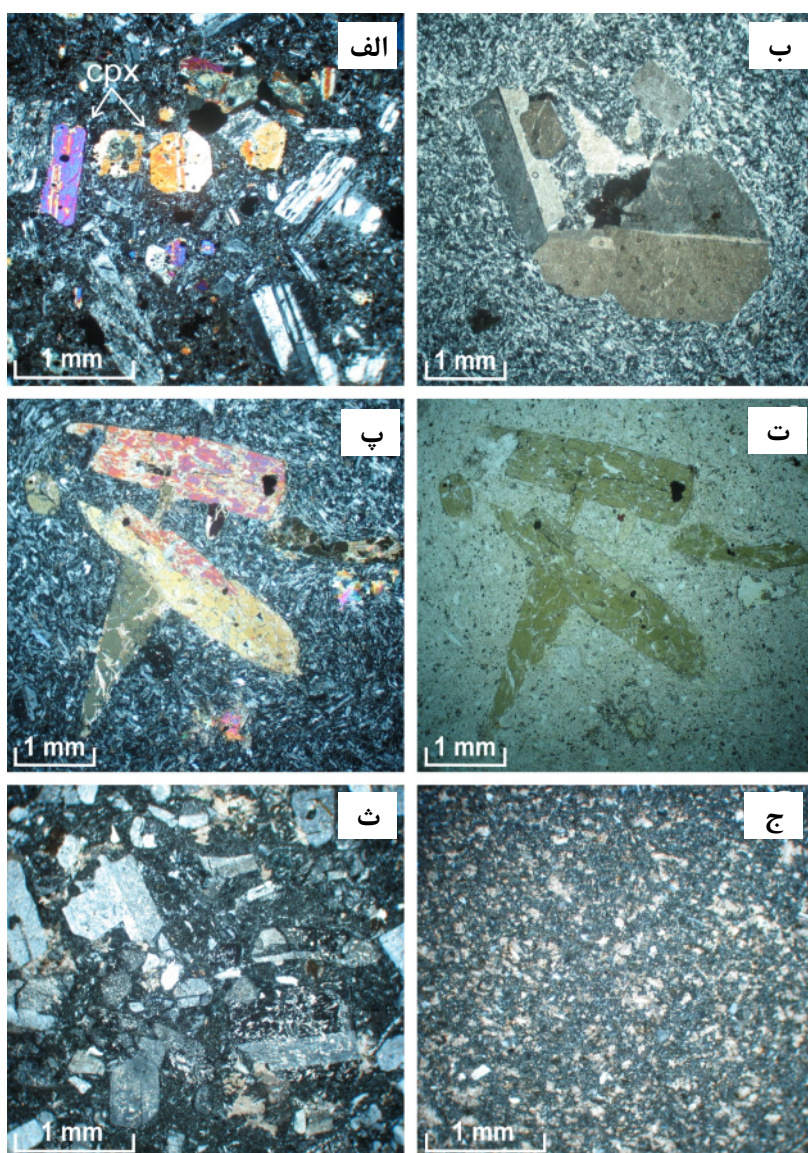
1- Ghasemi and Talbot (2006)

زیادی بوده و بافت‌های، پورفیری، مگاپورفیری، پورفیری میکروولیتی و ویتروفیری، بافت‌های غالب در سنگ‌های آتشفشانی منطقه‌ی مورد بررسی هستند. سنگ‌های آذرآواری منطقه نیز شامل انواع توف بلوری (شکل ۲ ث)، توف شیشه‌ای (شکل ۲ ج)، توف برش، آگلومرا و ایگنیمبریت بوده است. کانی-شناسی بیشتر سنگ‌های منطقه شامل بلورهای پلاژیوکلاز، آمفیبول (شکل ۲ پ و ۲ ت)، کلینوپیروکسن (شکل ۲ الف)، ارتوز (شکل ۲ ب) و کوارتز هستند که به صورت فنوکریست در سنگ‌های آتشفشانی منطقه حضور دارند [۱۳].

های آهکی-قلیایی در زمان ۵ تا ۶ میلیون سال قبل رخ داده-اند، معتقد است که این سنگ‌ها به رها شدن قطعات شکسته شده نهایی پوسته‌ی اقیانوسی فرورونده و فرو رفتن آنها در گوشته وابستگی دارند.

#### سنگ‌نگاری سنگ‌های منطقه

منطقه‌ی مورد بررسی بیشتر از سنگ‌های آتشفشانی با ترکیب آندزیت بازالتی، آندزیت، تراکی آندزیت، تراکی داسیت، داسیت و ریولیت تشکیل شده است که به ائوسن میانی تا ائوسن پایانی وابسته‌اند [۲]. گدازه‌های منطقه دارای تنوع ساختی و بافتی



شکل ۲ الف) فنوکریست‌های کلینوپیروکسن و پلاژیوکلاز در یک آندزیت (XPL). ب) فنوکریست‌های فلدسپات قلیایی (ارتوز) با ماکل کارلسباد در یک نمونه‌ی تراکیت (XPL). پ) و ت) فنوکریست‌های آمفیبول در یک کوارتز تراکیت، شکل پ (XPL) و شکل ت (PPL). ث) تصویر میکروسکوپی از یک توف شیشه‌ای بلوردار (XPL). ج) تصویر میکروسکوپی از یک توف شیشه‌ای (XPL). [۱۳]

رده‌بندی شیمیایی و نامگذاری سنگ‌های منطقه

برای بررسی‌های ژئوشیمی و سنگ‌شناسی سنگ‌های منطقه، تعداد ۲۸ نمونه که دارای کمترین میزان هوازنگی و کمترین میزان فنوکریست بودند انتخاب شدند و در دانشگاه تربیت مدرس تهران به روش XRF تجزیه شیمیایی شدند. سپس بین

این ۲۸ نمونه، تعداد ۱۰ نمونه بازی‌تر (SiO<sub>2</sub> کمتر از ۶۲ درصد وزنی) برگزیده و در آزمایشگاه Genalysis استرالیا به روش ICP MS آنالیز شدند. در آنالیز به روش ICP MS تنها عناصر نادر تجزیه شیمیایی شدند. لیست کامل نتایج این تجزیه‌های شیمیایی در جدول‌های شماره ۱ و ۲ ارائه شده‌اند.

جدول ۱ مقادیر عناصر اصلی (برحسب درصد وزنی) سنگ‌های منطقه‌ی مورد بررسی که به روش XRF آنالیز شده است.

unit	E6	E5	E3	E5	E5	E5	E5	E3	E5	E3	E5	E5	E6	E6	E5	E5	E5	E6
Sample	84.9.35	84.9.7	85.2..5	84.9.9	85.6.14	84.9.36	85.6.40	85.6.35	84.9.4	85.2.6	85.6.31	85.6.25	84.9.24	85.2.20	84.9.29	85.6.43	85.6.26	84.9.13
SiO <sub>2</sub>	۵۲٫۷۶	۵۳٫۲۲	۵۳٫۶۵	۵۳٫۹۸	۵۴٫۳۶	۵۶٫۵۷	۵۷٫۴۷	۵۸٫۲۰	۶۰٫۷۵	۶۳٫۰۸	۶۴٫۴۳	۶۴٫۷۳	۶۴٫۸۲	۶۵٫۲۱	۷۰٫۹۹	۷۳٫۷۳	۷۴٫۰۹	۷۵٫۷۱
Al <sub>2</sub> O <sub>3</sub>	۱۶٫۳	۱۶٫۲۷	۱۴٫۲۷	۱۴٫۷۷	۱۷٫۰۷	۱۷٫۵۱	۱۴٫۹۵	۱۵٫۷۵	۱۶٫۰۵	۱۴٫۹۵	۱۴٫۰۵	۱۴٫۲۶	۱۳٫۸۵	۱۴٫۷۱	۱۴٫۷۳	۱۱٫۱۸	۱۳٫۲	۱۳٫۸۷
Fe <sub>2</sub> O <sub>3</sub>	۱۰٫۳۳	۱۰٫۸۵	۱۲٫۵۳	۱۱٫۵۱	۹٫۶۶	۷٫۲۲	۷٫۷۴	۸٫۳۷	۷٫۰۱	۶٫۴۲	۵٫۷۲	۵٫۲۴	۵٫۹۲	۶٫۳۹	۲٫۱۵	۰٫۶۶	۱٫۸۴	۰٫۴۵
MnO	۰٫۲۳۲	۰٫۳۷۳	۰٫۳۰۴	۰٫۲۳۸	۰٫۱۵۴	۰٫۱۳۷	۰٫۱۹	۰٫۲۷۷	۰٫۱۰۲	۰٫۲۲۵	۰٫۰۵۴	۰٫۰۸۶	۰٫۰۸۲	۰٫۲۰۱	۰٫۰۸۵	۰٫۰۲۷	۰٫۱۹۳	۰٫۰۰۷
MgO	۵٫۳۶	۴٫۵۹	۵٫۴۷	۴٫۳۵	۵٫۱۹	۳٫۲۴	۴٫۱۸	۳٫۸۱	۳٫۶۳	۲٫۴۷	۲٫۷۲	۱٫۳۷	۲٫۱۵	۲٫۴۱	۰٫۶۲	۰٫۰۲	۰٫۳۳	-
CaO	۵٫۲۸	۷٫۶۶	۷٫۹۳	۸٫۵۷	۵٫۹۱	۵٫۰۹	۴٫۵۲	۳٫۳۸	۲٫۷۲	۲٫۸۹	۵٫۷۱	۲٫۰۸	۲٫۶۹	۲٫۸۶	۱٫۹۴	۲٫۰۴	۱٫۰۵	۰٫۴۳
Na <sub>2</sub> O	۳٫۲۱	۲٫۸۴	۲٫۲۴	۲٫۷۷	۳٫۷۹	۴٫۰۲	۳٫۷۷	۴٫۶۸	۷٫۵۲	۴٫۲۲	۴٫۶۹	۴٫۶۳	۴٫۸۸	۵٫۲۹	۶٫۸۷	۰٫۵۴	۵٫۲۱	۹٫۴۹
K <sub>2</sub> O	۱٫۹	۰٫۷۲	۰٫۷۲	۰٫۶	۰٫۲۹	۱٫۸۲	۰٫۸۱	۲٫۴۶	۰٫۱۳	۴٫۱	۰٫۹۷	۳٫۲۴	۱٫۶	۱٫۱۸	۰٫۲۹	۸٫۴۵	۱٫۴۶	۰٫۰۷
TiO <sub>2</sub>	۰٫۸۴۱	۰٫۷۷۵	۱٫۱۴	۱٫۰۷۱	۰٫۷۰۶	۰٫۶۲۴	۰٫۵۰۸	۰٫۶۵۹	۰٫۵۹۲	۰٫۶۶۹	۰٫۷۴۱	۰٫۵۶۵	۰٫۵۲۹	۰٫۴۰۹	۰٫۱۷	۰٫۱۰۹	۰٫۱۳۹	۰٫۰۹۸
P <sub>2</sub> O <sub>5</sub>	۰٫۲۱۱	۰٫۰۷۷	۰٫۱۶۴	۰٫۱۲۹	۰٫۱۰۸	۰٫۱۴۵	۰٫۱۵۷	۰٫۱۵۴	۰٫۲۲۱	۰٫۱۵۱	۰٫۲۰۶	۰٫۱۷۱	۰٫۱۷۸	۰٫۱۸۲	۰٫۱۰۹	۰٫۰۳۶	۰٫۰۷۷	۰٫۰۹

جدول ۲ مقادیر عناصر اصلی (برحسب درصد وزنی) سنگ‌های منطقه‌ی مورد بررسی که به روش XRF و مقادیر عناصر نادر (برحسب ppm) سنگ‌های منطقه‌ی مورد بررسی که به روش ICP MS آنالیز شده‌اند.

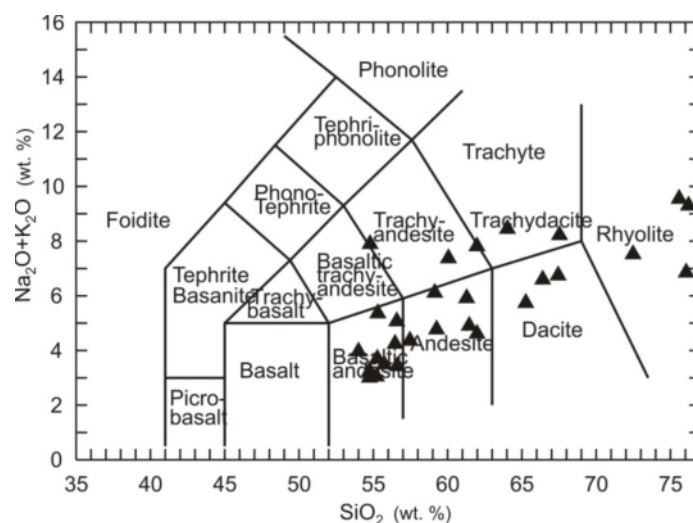
unit	E3	E6	E6	E3	E6	E5	E6	E5	E6	E5
Sample	85.2.8	84.9.20	84.9.5	85.2..5	84.9.22	85.6.3	85.2.17	85.6.17	85.2.24	85.2.26
SiO <sub>2</sub>	۵۲٫۱۰	۵۲٫۳۱	۵۲٫۸۳	۵۳٫۶۴	۵۴٫۲۶	۵۴٫۶۵	۵۵٫۴۶	۵۶٫۵۷	۵۹٫۷۶	۶۰٫۰۰
Al <sub>2</sub> O <sub>3</sub>	۱۷٫۳۱	۱۶٫۱۶	۱۵٫۶۴	۱۴٫۷۱	۱۶٫۲۱	۱۵٫۸۹	۱۳٫۸۷	۱۵٫۱۷	۱۵٫۳۹	۱۴٫۵۴
Fe <sub>2</sub> O <sub>3</sub>	۱۰٫۵۸	۱۰٫۲۵	۹٫۴۶	۱۲٫۸۳	۹٫۱۶	۹٫۹۳	۱۰٫۷۷	۷٫۵	۸٫۹۳	۷٫۷۷
MnO	۰٫۲۴۸	۰٫۴۳۶	۰٫۱۷۳	۰٫۳۰۱	۰٫۲۳۷	۰٫۱۷۹	۰٫۰۹۶	۰٫۱۶	۰٫۲۸۸	۰٫۱۱۳
MgO	۳٫۳۶	۴٫۹۳	۵٫۲۴	۵٫۵۷	۵٫۷۱	۴٫۷۴	۵٫۶۸	۴٫۳۶	۳٫۱۷	۳٫۸۱
CaO	۸٫۶۷	۳٫۷۸	۹٫۹۸	۸٫۰۱	۷٫۰۹	۵٫۷۵	۶٫۲۵	۷٫۱۵	۴٫۰۷	۶٫۰۷
Na <sub>2</sub> O	۲٫۶۵	۰٫۹۸	۲٫۹۲	۲٫۲۳	۲٫۸	۳٫۲۷	۳٫۳۹	۳٫۴۹	۴٫۷۶	۲٫۹
K <sub>2</sub> O	۱٫۱۷	۶٫۵۵	۰٫۲۱	۰٫۷۱	۰٫۴۸	۰٫۸۷	۱٫۵۷	۱٫۰۶	۱	۱٫۵۶
TiO <sub>2</sub>	۱٫۱۶۴	۰٫۹۵۹	۰٫۸۷۴	۱٫۰۹۸	۰٫۷۱	۰٫۶۳۳	۱٫۱۳۸	۰٫۶۴۶	۰٫۸۵۷	۰٫۷۲۱
P <sub>2</sub> O <sub>5</sub>	۰٫۲۸۶	۰٫۱۴۸	۰٫۱۱۳	۰٫۱۶۵	۰٫۱۰۴	۰٫۱۶۸	۰٫۸۶۵	۰٫۱۰۶	۰٫۱۷۵	۰٫۰۹۶
Ba	۹۰٫۴۹	۲۳۸۶٫۲	۷۸٫۹	۲۸۶٫۲	۱۸۳٫۳	۳۱۹٫۵	۴۱۲٫۱	۴۴۵٫۵	۲۶۸٫۳	۳۰۸٫۸
Ce	۴۰٫۱۹	۲۳٫۱۱	۱۲٫۶۶	۱۲٫۸۸	۹٫۳۷	۲۲٫۲۹	۳۷٫۵۴	۳۰٫۷۲	۲۱٫۷۴	۲۴٫۸۳
Co	۲۹٫۱	۲۵٫۳	۳۳٫۷	۴۰	۲۳٫۳	۲۶٫۶	۱۶٫۴	۲۳٫۳	۱۶٫۶	۲۱
Cr	۷۳	۷۰	۱۳۱	۱۰۴	۷۱	۵۲	۱۳۸	۴۷	۳۴	۶۷
Cs	۲٫۲۵	۲٫۷۴	۱٫۳۱	۰٫۶۱	۱٫۷	۱٫۰۵	۲٫۱۷	۰٫۶۴	۰٫۳۸	۱٫۴۳
Dy	۶٫۶۴	۵٫۴۱	۴٫۰۲	۵٫۰۹	۳٫۲۳	۴٫۱۲	۶٫۳۵	۳	۵٫۱۸	۴٫۷۱
Er	۴٫۰۴	۳٫۱۷	۲٫۵۳	۳٫۱	۱٫۹۸	۲٫۴	۳٫۳	۱٫۷۸	۳٫۰۱	۲٫۸۶
Eu	۱٫۴۷	۱٫۴	۱	۱٫۱	۰٫۸۸	۱٫۱۹	۱٫۸۳	۰٫۹۹	۱٫۲۵	۱٫۰۴
Hf	۳٫۴۶	۲٫۵۵	۱٫۵۴	۱٫۲	۱٫۳۶	۲٫۲	۱٫۹۷	۲٫۳۵	۲٫۶۱	۳٫۰۶
La	۱۹٫۵۷	۱۰٫۱	۵٫۳۹	۵٫۴۷	۳٫۶۹	۱۰٫۸۷	۱۶٫۵۸	۱۶٫۲۶	۹٫۳۲	۱۱٫۱۷
Lu	۰٫۵۷	۰٫۴۱۷	۰٫۳۴۳	۰٫۴۳۲	۰٫۲۶۷	۰٫۳۲	۰٫۳۶۶	۰٫۲۵۸	۰٫۳۹۳	۰٫۴
Nb	۱۰٫۷۴	۳٫۷۴	۲٫۵۲	۳٫۱۱	۱٫۶۷	۴٫۶۴	۱۹٫۰۴	۳٫۲۱	۴٫۱	۵٫۲۱
Nd	۲۱٫۷۱	۱۴٫۹۴	۸٫۸۳	۹٫۵۸	۶٫۹۱	۱۳٫۲۵	۲۲٫۱۷	۱۴٫۴۲	۱۳٫۷۶	۱۴٫۳۸
Pb	۱۲۲	۲۳۲	-	۱۰	۶۲	۴	۵	۱۵	۵	۷
Pr	۵۰٫۸۸	۳٫۱۴۵	۱٫۸۱۵	۱٫۹۱۹	۱٫۴۰۴	۲٫۹۶۹	۴٫۹۹	۳٫۵۶۳	۲٫۹۵۲	۳٫۲۴۸
Rb	۳۴٫۲۴	۴۲۴٫۰۹	۵۰٫۸	۲۶٫۹۹	۱۷٫۶۷	۱۷٫۲۴	۶۰٫۲	۱۹٫۷۲	۲۹٫۴۸	۵۶٫۱۸
Sc	۲۷	۲۹	۴۲	۳۸	۲۲	۲۲	۲۳	۲۰	۲۰	۲۸
Sm	۵٫۱۵	۴٫۰۵	۲٫۵۹	۳٫۰۵	۲٫۱۲	۳٫۱۲	۵٫۶۷	۳٫۰۳	۳٫۷۲	۳٫۶۷
Sr	۵۹۸٫۶۱	۳۹۸٫۰۷	۳۱۲٫۵۸	۲۷۸٫۵۵	۶۷۱٫۹۸	۵۱۰٫۵۶	۶۱۲٫۹۳	۱۶۶۶٫۴	۳۳۱٫۵۴	۳۰۸٫۶۵
Ta	۰٫۷۱	۰٫۲۷	۰٫۱۸	۰٫۲	۰٫۲	۰٫۲۸	۰٫۹۴	۰٫۲۶	۰٫۲۳	۰٫۴
Th	۳٫۷۸	۱٫۶۲	۱٫۰۶	۰٫۷۱	۰٫۵۸	۰٫۹۸	۱٫۱۴	۵٫۵۳	۱٫۴۸	۴٫۶۶
U	۱٫۲۷	۰٫۸۴	۰٫۳۸	۰٫۲۴	۰٫۲۴	۰٫۳۷	۰٫۳۸	۲٫۱۷	۰٫۵۸	۵٫۷۳
Y	۳۵٫۸۷	۲۸٫۷۵	۲۱٫۹۴	۲۷٫۱	۱۷٫۱۲	۲۱٫۵۸	۳۲٫۳۹	۱۶٫۷۴	۲۶٫۸۹	۲۵٫۵۷
Yb	۳٫۷۹	۲٫۷۶	۲٫۲۷	۲٫۷۶	۱٫۶۸	۲٫۱۶	۲٫۷۴	۱٫۷۲	۲٫۶	۲٫۵۵
Zr	۱۰٫۸	۷٫۳۱	۴٫۴۱	۳٫۴۴	۴۰٫۳	۶۳	۷۷٫۲	۷۴٫۶	۸۰	۸۸٫۲
Ni	۵	۷	۲۳	۲۶	۵	۱	۳۳	۱	۱	۱
V	۲۰٫۹	۲۰٫۴	۲۴۹	۲۷۲	۱۴۷	۱۵۶	۱۷۴	۱۷۳	۱۰۲	۱۴۹

۵۷ درصد. معمولاً کاهش آلومینیوم توأم با پیشرفت جدایش ماگمایی را به تبلور بخشی پلاژیوکلاز طی آن جدایش نسبت می‌دهند [۱۵]، هر چند مقداری آلومینیوم در ساختار پیروکسن‌ها نیز شرکت دارد. پیدایش روند با شیب تندتر را می‌توان به جدایش ماگما به واسطه‌ی تبلور بخشی مؤثرتر پلاژیوکلاز نسبت داد. CaO با افزایش  $\text{SiO}_2$  روندی کاهشی دارد (شکل ۴)، شیب این روند در نمونه‌های با  $\text{SiO}_2$  بالا، هموار و ملایم می‌شود. تغییر شیب روند CaO در سنگ‌های منطقه را می‌توان به تغییر نسبت مجموعه کانی‌های در حال جدایش ماگمایی به خصوص نسبت پلاژیوکلازها به فلدسپات قلیایی (ارتوز) نسبت داد.

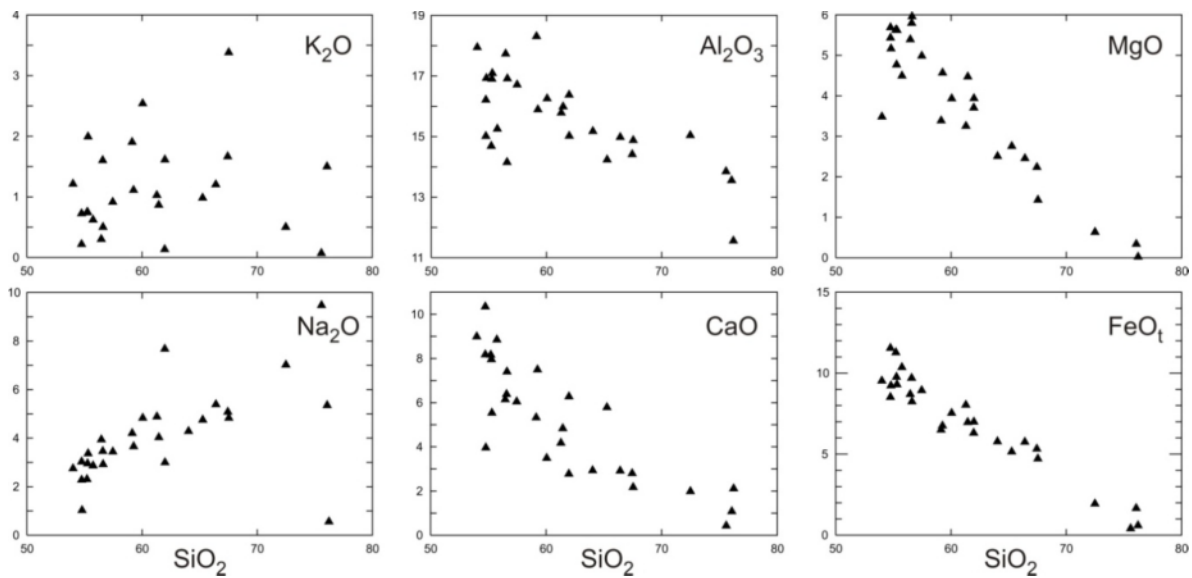
Mg از سازگارترین عناصر است به طوری که با افزایش میزان  $\text{SiO}_2$  روند کاهشی یکنواختی از خود نشان می‌دهد (شکل ۴)، این روند به این علت است که عنصر Mg از همان آغاز جدایش ماگما به طور پیوسته وارد کانی‌های الیوین و پیروکسن می‌شود.  $\text{FeO}_T$  نیز مانند MgO با افزایش میزان سیلیس، روند کاهشی دارد (شکل ۴). علت آن، سازگار بودن عنصر Fe در طول جدایش ماگمایی است. این عنصر در طول جدایش در کانی‌هایی همچون الیوین، پیروکسن و مگنتیت جای می‌گیرد، بنابراین با زیاد شدن میزان  $\text{SiO}_2$  در ماگما،  $\text{FeO}_T$  کمتر و کمتر می‌شود. به طور کلی روند عناصر اصلی نسبت به  $\text{SiO}_2$  در نمودارهای هارکر بیانگر فرآیند جدایش از طریق تبلور بخشی است.

نمودار TAS یکی از بهترین نمودارها برای مشخص کردن نام سنگ‌هاست که میزان کل قلیایی‌ها نسبت به سیلیس را نشان می‌دهد. نمونه‌های منطقه ی مورد بررسی در این نمودار در گستره‌ی آندزیت بازالتی، آندزیت، تراکی آندزیت، تراکی داسیت، داسیت و ریولیت (شبه قلیایی) قرار می‌گیرند (شکل ۳). از نظر ژئوشیمی عناصر اصلی،  $\text{Na}_2\text{O}$  و  $\text{K}_2\text{O}$  (عناصر قلیایی) که هر دو جزء اکسیدهای عناصر ناسازگاراند، به طوری کلی با افزایش سیلیس در نمودارهای هارکر، روندی افزایشی از خود نشان می‌دهند. در نمودار  $\text{K}_2\text{O}$  نسبت به  $\text{SiO}_2$  (شکل ۴)، این روند خیلی روشن و پیوسته نیست و نمونه‌ها پراکندگی زیادی نشان می‌دهند در حالی که صعودی و منسجم بودن روند تغییرات سدیم نسبت به سیلیس، به صورت کاملاً مشخص، در شکل (۴) نمایان است. به عقیده‌ی کلمن [۱۴] میزان  $\text{K}_2\text{O}$  بیشتر تحت تأثیر فرایندهای جدایش ماگمایی است که ماگما حین صعود دستخوش آن گشته است. از جمله این فرایندها می‌توان به تبلور بخشی، اختلاط ماگمایی و هضم اشاره کرد. به عبارتی می‌توان گفت این فرایندها موجب پراکندگی توزیع  $\text{K}_2\text{O}$  شده‌اند. این در حالی است که میزان Na، خیلی کمتر تحت تأثیر این فرایندها قرار می‌گیرد.

$\text{Al}_2\text{O}_3$  با افزایش سیلیس روندی کاهشی نشان می‌دهد (شکل ۴). این کاهش به صورت دو روند متمایز از یکدیگر خودنمایی می‌کند، یکی با شیب تند در مقادیر  $\text{SiO}_2$  کمتر از ۵۷ درصد و دیگری با شیب متوسط در مقادیر  $\text{SiO}_2$  بیشتر از



شکل ۳ موقعیت نمونه‌های منطقه مورد مطالعه بر روی نمودار TAS.



شکل ۴ نمودار تغییرات میزان  $K_2O$ ،  $Na_2O$ ،  $Al_2O_3$ ،  $CaO$ ،  $MgO$  و  $FeOt$  نسبت به  $SiO_2$  برای سنگ‌های منطقه‌ی مورد بررسی. اکسیدها بر حسب درصد وزنی ترسیم شدند.

HREE و Y به شدت فقیر و به دلیل ناپایداری پلاژیوکلاز از Sr، به شدت غنی است [۱۶]. دو نمونه از سنگ‌های منطقه در نمودار مربوطه تمایل به سمت گستره‌ی آداکیتی دارند و تا حدودی طبیعت آداکیتی از خود نشان می‌دهند. این دو نمونه در شکل (۵) در گستره‌ی آداکیت و یا نزدیک به آن قرار می‌گیرند. این سنگ‌ها ممکن است به سبب هندسه‌ی خاص فرورانش در این منطقه تشکیل شده باشند. لازم به یادآوری است که در برخی فرورانش‌ها پوسته‌ی اقیانوسی فرورانده شده در راستای گسل‌های تبدیل می‌تواند دستخوش بازشدگی شود (slab window). بنابراین در اینگونه مناطق قابلیت ذوب پوسته‌ی اقیانوسی افزایش یافته و می‌تواند منجر به تولید مذاب‌های آداکیتی به طور جزئی و مختصر شود [۱۷].

یکی دیگر از فاکتورهای موثر در تعیین ژنز سنگ‌های منطقه، رسوب‌های فرورانده شده هستند. عنصر Th در تعیین نقش رسوب‌های فرورانده در سیستم‌های کمان ماگمایی ناشی از فرورانش، از اهمیت به سزایی برخوردار است. این عنصر به شدت پابرجا یا ساکن<sup>۲</sup> بوده و در جریان آبدابایی پوسته‌ی اقیانوسی فرورانده وارد آبگون‌های غنی از عناصر متحرک مانند LILE نمی‌شود. بنابراین انتظار این است که در یک سیستم ماگمایی وابسته به فرورانش، نسبت عناصر LIL به Th، به-

تعیین نقش نسبی اجزاء درگیر در ماگماتیسیم منطقه مورد مطالعه برای شناخت بهتر اجزاء و فرایندهای درگیر در تولید ماده‌ی مذاب (ماگما) و پتروژنز سنگ‌های آتشفشانی شمال شرق نراق (به عنوان بخش کوچکی از محور ارومیه- دختر) لازم است تا به بررسی برخی فاکتورهای اساسی و اجزاء اصلی درگیر منطقه‌ی مورد بررسی بپردازیم. گوهی گوشته، پوسته‌ی اقیانوسی فرورونده، رسوب‌های فرورونده، ضخامت پوسته و شیب فرورانش اجزاء اصلی کنترل کننده‌ی ماگماتیسیم در کمان‌های ماگمایی هستند، که به تشریح برخی از این فاکتورها در منطقه‌ی مورد بررسی می‌پردازیم.

به منظور تعیین نقش احتمالی مذاب‌های حاصل از پوسته-ی اقیانوسی فرورونده در شکل‌گیری سنگ‌های آتشفشانی مورد بررسی، از معیار  $Str/Y$  نسبت به Y استفاده شد. براساس نمودار شکل ۵، مقادیر پایین نسبت  $Str/Y$  نشان دهنده‌ی این است که ماده‌ی مذاب حاصل از ذوب پوسته‌ی اقیانوسی فرورونده، نقش به سزایی در تشکیل سنگ‌های آتشفشانی منطقه‌ی شمال شرقی نراق نداشته است و به نظر می‌رسد جزء اصلی درگیر در تولید مذاب، گوهی گوشته بوده و تأثیر پوسته اقیانوسی فرورونده کمتر است. معمولاً ماده‌ی مذاب بخشی حاصل از پوسته‌ی اقیانوسی فرورونده چون در تعادل با مجموعه‌ی کانی-های با فشار بالا (اکلوژیت یا گارنت آمفیبولیت) است، از

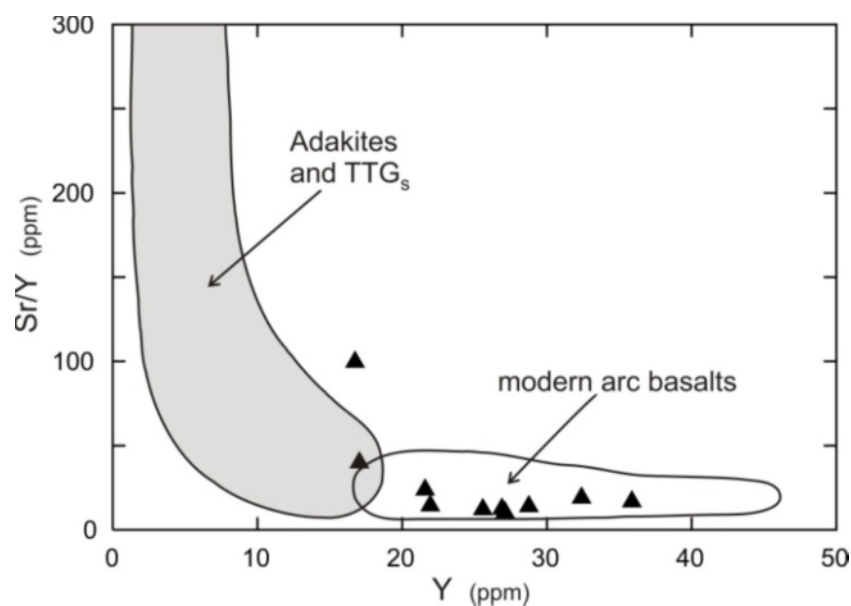
[۲۷] سعی کرد تا با به‌کارگیری نسبت‌های عناصر نادر (Th/Yb و Ta/Yb) دو نکته را مورد توجه خاص قرار دهد. اول آنکه با قرار دادن Yb در مخروط کسر (برای هر دو محور قائم و افقی نمودار)، اثرهای ذوب‌بخشی و تبلوربخشی در شکل‌گیری مواد آذرین را به حداقل رساند. دوم آنکه با استفاده از دو عنصر بسیار ناسازگار در صورت کسر (برای هر دو محور قائم و افقی نمودار)، شاخص‌های خوبی برای غنی‌شدگی و تهی‌شدگی گوشته‌ی خاستگاه را ارائه کرد. به گونه‌ای که مشاهده می‌شود (شکل ۷)، نمونه سنگ‌های آتشفشانی مورد بررسی در گستره‌ی بین گوشته‌ی تهی‌شده و غنی‌شده قرار می‌گیرند.

به‌رحال مقادیر به نسبت بالای Th در این سنگ‌ها باعث شده که از روند تغییرات مواد وابسته به گوشته mantle (array) خارج و بین دو گستره‌ی جزایر قوسی و حواشی قاره‌ای فعال قرار گیرند. افزایش Th را می‌توان به دو عامل: ۱- تأثیر آلودگی ناشی از مواد پوسته‌ی فوقانی روی فراورده‌های ماگماتیسیم (پیکان c) و ۲- تأثیر آبگون‌های آزاد شده از پوسته‌ی اقیانوسی فرورونده (پیکان s) در شکل ۷ نسبت داد. به طور کلی ماگماهای حواشی قاره‌ای فعال در مقایسه با ماگماهای جزایر قوسی، درجات بالاتر غنی‌شدگی از طیف کامل عناصر نادر ناسازگار را نشان می‌دهند که ممکن است بازتاب دهنده‌ی تأثیر مشترک جدایی از یک گوشته‌ی خاستگاه غنی‌شده و آلودگی پوسته‌ای باشد.

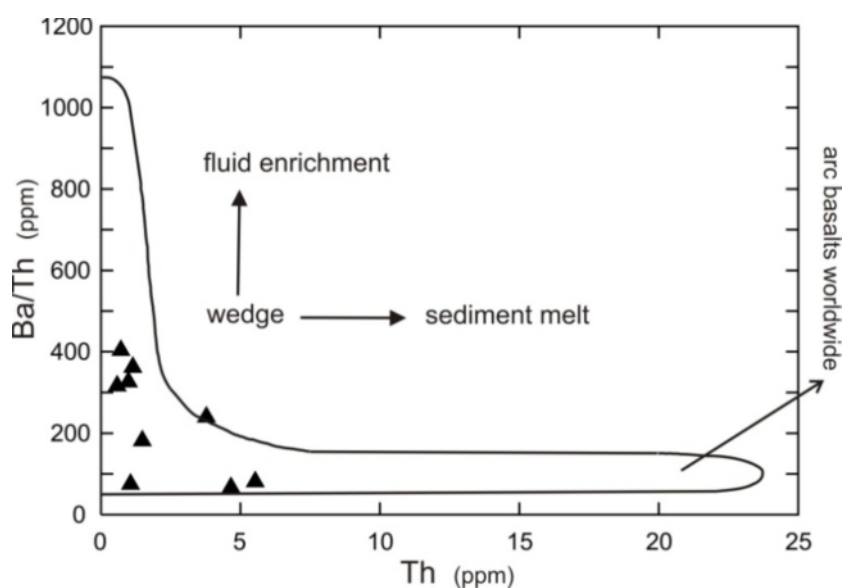
شدت افزایش یابد. زیرا فرآیند غالب ذوب در این سیستم‌ها، آبدایی پوسته‌ی فرورانده و اضافه شدن آبگون‌های غنی از عناصر LIL به درون گوه‌ی گوشته است [۱۴، ۱۸-۲۰]. کوچک بودن نسبت این عناصر به Th، بیانگر نقش رسوب‌های فرورانده در تولید مذاب کمان‌ماگمایی است. حامل اصلی Th در سیستم-های فرورانش، کانی‌های آلانیت، فنزیت و هیدراکسیدهای آهن-منگنز هستند [۲۱، ۲۲]. بنابر بررسی‌های ترنر، ایبوت و هاوکسورف [۲۳-۲۵] انتقال Th به درون گوه‌ی گوشته در اثر ذوب رسوب‌های فرورانده انجام می‌پذیرد. برای تعیین نقش رسوب‌های فرورانده شده از نمودار Ba/Th نسبت به Th استفاده شد (شکل ۶). چنانکه این شکل نشان می‌دهد، تعداد ۷ نمونه که واجد نسبت بالای Ba/Th و میزان کم Th هستند و حاکی از نقش آبگون‌های آزاد شده از پوسته‌ی فرورانده در تشکیل ماگمای مادر این دسته از سنگ‌های منطقه است [۲۶]. ولی ۳ نمونه دیگر با نسبت پایین Ba/Th، میزان اندکی افزایش در Th را نشان می‌دهند که احتمالاً حاکی از مشارکت نسبی رسوب‌های فرورانده در تشکیل ماگمای مادر این سنگ‌هاست.

#### خاستگاه ماگمای مادر سنگ‌های منطقه‌ی مورد بررسی

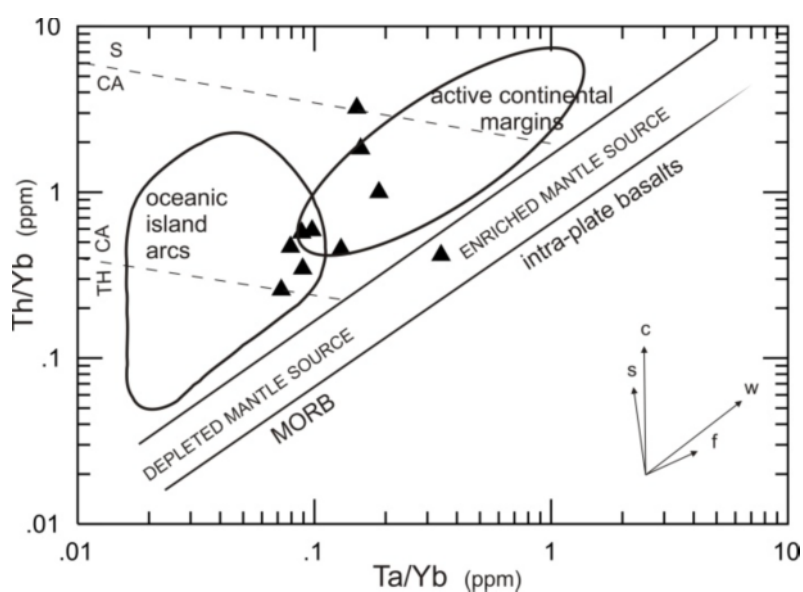
چنانکه پیشتر گفته شد، گوه گوشته نقش اصلی را در تولید ماگمای خاستگاه سنگ‌های آذرین منطقه دارد، در حالی که پوسته‌ی اقیانوسی فرورونده و رسوب‌ها، نقش کمتری داشته‌اند. برای جدایش و شناخت بهتر نقش این دو فاکتور از یکدیگر



شکل ۵ موقعیت سنگ‌های منطقه‌ی مورد بررسی در نمودار، نسبت Sr/Y به Y [۳۲].



شکل ۶ موقعیت نمونه سنگ‌های آتشفشانی منطقه‌ی مورد بررسی روی نمودار Ba/Th نسبت به Th [۲۳].



شکل ۷ موقعیت سنگ‌های منطقه‌ی مورد بررسی روی نمودار، Th/Yb نسبت به Ta/Yb [۲۷]. (s نشان دهنده‌ی نقش اجزاء درگیر در فرورانش، w غنی‌شدگی درون صفحه‌ای، c آلودگی پوسته‌ای، f تبلور بخشی و نقطه چین‌ها مرز جدا کننده‌ی، گستره‌ی تولیت از آهکی-قلیایی و شوشونیت است).

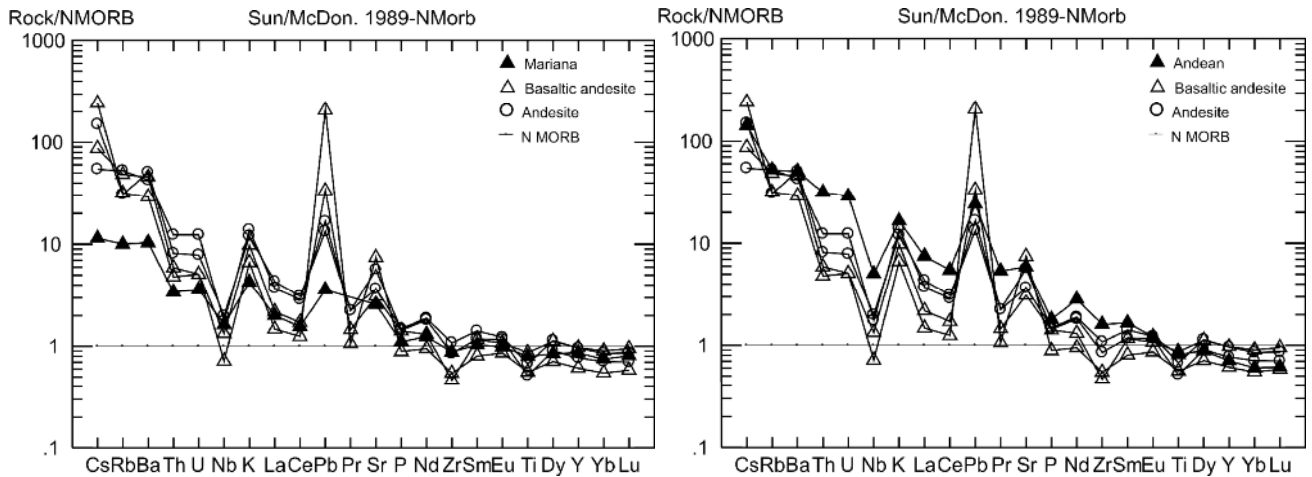
شکل ۸ الگوی نمودارهای عنکبوتی بهنجار شده به NMORB سنگ‌های منطقه‌ی مورد بررسی را نمایش می‌دهد که با الگوی عناصر نادر سنگ‌های آتشفشانی ماریانا، به عنوان یک نمونه‌ی معروف از جزایر قوسی (ماریانا، غرب اقیانوس آرام) و نیز با الگوی عناصر نادر سنگ‌های آتشفشانی آند، به عنوان یک نمونه‌ی معروف از حاشیه‌های قاره‌ای فعال (غرب امریکای جنوبی) مقایسه شده‌اند. در مقایسه با نمودار عنکبوتی ماریانا،

**موقعیت ژئودینامیکی منطقه‌ی مورد بررسی: جزایر قوسی یا حواشی قاره‌ای فعال؟**

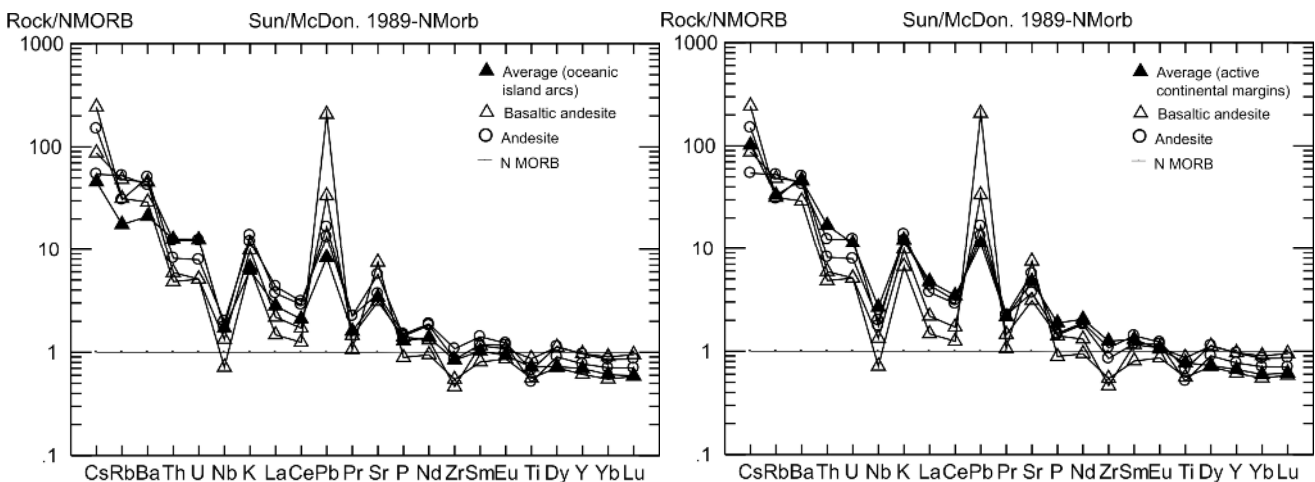
چنان‌که که در بخش قبل بحث شد، ویژگی‌های عناصر نادر سنگ‌های آتشفشانی منطقه‌ی مورد بررسی، دارای یک حالت حدواسط بین سنگ‌های جزایر قوسی و سنگ‌های حاشیه‌های قاره‌ای فعال است. در اینجا با استفاده از طیف گسترده‌ی عناصر نادر به بررسی آن می‌پردازیم.

در شکل ۹ الگوی نمودارهای عنکبوتی بهنجار شده به NMORB سنگ‌های مورد بررسی را مشاهده می‌کنید که با الگوهای نمودار عنکبوتی، میانگین جزایر قوسی و میانگین حاشیه‌های قاره‌ای فعال مقایسه شده است. به‌گونه‌ای که مشاهده می‌شود، نمی‌توان به طور قطع گفت که الگوی سنگ‌های منطقه‌ی مورد پژوهش به کدامیک از این دو الگو شباهت بیشتری دارد. ولی به نظر می‌رسد بلوغ (Maturity) کمان ماگمایی و ضخامت پوسته‌ی فرارونده (Overriding plate) از مهمترین کنترل‌کننده‌ها محسوب می‌شوند. گرچه شیب

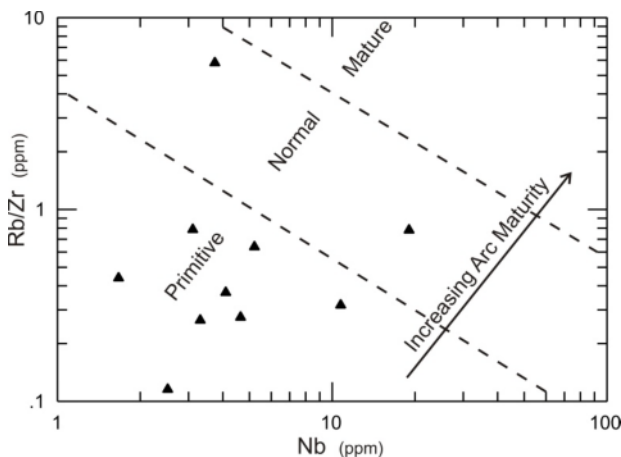
سنگ‌های منطقه‌ی مورد بررسی، غنی‌شدگی بیشتری از عناصر LIL نشان می‌دهند، ولی در دیگر عناصر تقریباً مشابه هستند. در مقایسه سنگ‌های آتشفشانی شمال شرقی نراق با نمودار عنکبوتی آند، بازالت‌های آند در عناصر U, Th, Nb, La, Ce, Pr, Nd و Zr غنی‌شدگی مختصری نشان می‌دهند. نگاهی دقیق به الگوهای نمایش داده‌شده روی شکل ۸ نشان می‌دهد که الگوی عناصر نادر سنگ‌های منطقه‌ی مورد بررسی، در موقعیت حدواسط بین الگوی عناصر نادر جزیره قوسی و حاشیه‌ی قاره‌ای فعال قرار دارد.



شکل ۸ مقایسه‌ی الگوهای بهنجار شده [۳۳] عناصر نادر آندزیت‌های بازالتی و آندزیت‌های منطقه‌ی مورد بررسی با نمودارهای عنکبوتی ماریانا و آند [۱۴].



شکل ۹ مقایسه‌ی الگوهای بهنجار شده‌ی عناصر نادر آندزیت‌های بازالتی و آندزیت‌های منطقه‌ی مورد بررسی با نمودارهای عنکبوتی میانگین جزایر قوسی و میانگین حواشی قاره‌ای فعال [۱۴].



شکل ۱۰ موقعیت سنگ‌های منطقه‌ی مورد بررسی در نمودار، Rb/Zr نسبت به Nb [۲۸].

#### برداشت

با توجه به شواهد موجود، به نظر می‌رسد ماگمای به وجود آورنده‌ی سنگ‌های آذرین منطقه‌ی مورد بررسی در اثر آزدایی پوسته‌ی اقیانوسی نئوتتیس به درون گوه-ی گوشته در زیر صفحه‌ی ایران مرکزی تشکیل شده‌اند. گوشته‌ی خاستگاه سری‌های سنگی منطقه‌ی مورد بررسی به احتمال زیاد یک گوشته‌ی غنی شده بوده است. روند عناصر اصلی نسبت به  $\text{SiO}_2$  در نمودارهای هارکر، بیانگر فرآیند جدایشی از طریق تبلور بخشی است. الگوی نمودارهای عنکبوتی نشانگر غنی‌شدگی این سنگ‌ها از عناصر LIL و LREE و تهی‌شدگی از عناصر HFS هستند. این الگو ویژگی شاخص کمان‌های ماگمایی ناشی از فرورانش است. ژئوشیمی سنگ‌های آندزیت بازالتی و آندزیت‌های شمال نراق احتمالاً بیانگر شرایط تشکیل حد واسط<sup>۶</sup> بین حاشیه‌ی قاره‌ای فعال و جزایر قوسی و حاکی از فوران این گدازه‌ها در یک کمان ماگمایی نابالغ<sup>۷</sup> هستند. ضخامت تقریباً کم حدود ۳۵ کیلومتری صفحه ایران مرکزی در منطقه‌ی نراق، سبب نزدیکی الگوی عناصر نادر این سنگ‌ها با جزایر قوسی شده است.

#### قدردانی

این پژوهش با استفاده از اعتبارات و امکانات پژوهشی دانشگاه تربیت مدرس انجام گرفته است. از نقطه نظرهای

فرورانش نیز می‌تواند تاثیر مهمی در ژنز این گونه سنگ‌ها داشته باشد. بر اساس نمودار برون<sup>۳</sup> [۲۸] که در آن نسبت لگاریتمی Rb/Zr نسبت به لگاریتم Nb آورده شده است غالب سنگ‌های منطقه در گستره‌ی کمان‌های ماگمایی جوان و نابالغ (Immature Arc) یا مراحل آغازین کمان ماگمایی قرار گرفته‌اند و چند نمونه هم در گستره‌ی کمان‌های عادی قرار گرفته‌اند (شکل ۱۰). بررسی‌های مشابه انجام شده در ایران مانند بررسی‌های شهاب‌پور<sup>۴</sup> [۲۹] نیز موید این برداشتند. بنابراین کم بودن ضخامت پوسته‌ی ایران مرکزی هنگام فرورانش (حدود ۳۵ کیلومتر) می‌تواند نقش اصلی را در قرابت این سنگ‌ها با جزایر قوسی داشته باشد. بنا بر بررسی‌های فرناندز<sup>۵</sup> [۳۰] عمق موهو در حال حاضر حدود ۴۰ کیلومتر است، که در زمان ائوسن کمتر از این نیز بوده است. زیرا برخورد صفحه‌ی عربستان با ایران و رژیم زمین ساختی فشارشی منجر به تغییر عمق موهو و افزایش آن از ائوسن تا کنون شده است.

علی‌رغم شباهت‌های کمان‌های ماگمایی در چگونگی ماگماتیسیم، تفاوت‌های سنگ‌شناسی خاصی بین فرورانش به زیر پوسته‌ی اقیانوسی و فرورانش به زیر پوسته‌ی قاره‌ای وجود دارد. کمان‌های آتشفشانی که روی پوسته‌ی ضخیم فوران می‌کنند، سرشت‌های ویژه‌ای دارد، مثلاً بیشتر سیلیسی بوده و به ازای میزان مشخص  $\text{SiO}_2$  تحول یافته‌تر هستند. همچنین از عناصر LILE (به ویژه K, Rb, Ra, U و HREE) غنی‌ترند. ماگماها در حواشی قاره‌ای فعال بیشتر ترکیب آندزیتی-داسیتی داشته، از میزان  $\text{SiO}_2$  بیشتری برخوردار بوده، میزان پتاسیم بالاتری دارند. ولی ماگماهای جزایر قوسی بیشتر ترکیب آندزیت بازالتی دارند و از میزان پتاسیم کمتری برخوردارند [۳۱]. تاثیرهای ژئوشیمیایی آلودگی پوسته‌ی قاره-ای، روی ترکیب سنگ‌های آتشفشانی تا حدود زیادی شبیه به تاثیر آبگون‌های آزاد شده از پوسته‌ی فرورونده، است. به هر حال عدم مشاهده‌ی شواهد آلودگی پوسته‌ای، همچون حضور زنولیت‌های مشتق از پوسته، قضاوت در مورد نقش این عامل را با تردید مواجه می‌سازد. بررسی‌های ایزوتوپی پرتوزاد در تعیین نقش آلودگی پوسته، در شکل‌گیری سنگ‌های آتشفشانی، راهگشا خواهند بود.

3- Brown et.al (1984)

4- Shahabpour (2007)

5- Fernandez et.al (2003)

6- Transitional

7- Immature

*middle part of Iran and its geodynamic situation*", Geologische Rundschau 73 (1984) 917-932.

[11] Emami M.H., "Géologie de la région de Qom-Aran (Iran): Contribution a l'étude dynamique et géochimique du volcanisme Tertiaire de l'Iran Central", Ph.D thesis, University of Grenoble France (1981) 489pp.

[12] Berberian F., Berberian M., "Tectono-plutonic episodes in Iran. In: Gupta H.K., Delany F.M., (Eds.), Zagros Hindukosh, Himalaya Geodynamic Evolution", American Geophysical Union, Washington DC (1981) 5-32.

[۱۳] شهریاری ش., "ژئوشیمی و پترولوژی سنگ‌های آتشفشانی شمال شرق نراق"، پایان‌نامه کارشناسی ارشد دانشگاه تربیت مدرس، (۱۳۸۶) ۹۶ صفحه.

[14] Kelemen P.B., Hanghoj K., Greene A.R., "One View of the Geochemistry of Subduction-related Magmatic Arcs, with an Emphasis on Primitive Andesite and Lower Crust", Treatise on Geochemistry 3 (2004) 593-659.

[15] Wilson M., "Igneous Petrogenesis", A global Tectonic Approach, Unwin Hyman (1989) 466 pp.

[16] Munker C., Worner G., Yogodzinski G., Churikova T., "Behaviour of high field strength elements in subduction zones: constraints from Kamchatka-Aleutian arc lavas", Earth and Planetary Science Letters 224 (2004) 275-293.

[17] Thorkelson D.J., Breitsprecher K., "Partial melting of slab window margins: genesis of adakitic and non-adakitic magmas", Lithos 79 (2005) 25-41.

[18] Ulmer P., "Partial melting in the mantle wedge - the role of H<sub>2</sub>O in the genesis of mantle-derived 'arc-related' magmas", Physics of the Earth and Planetary Interiors 127 (2001) 215-232.

[19] Peslier A.H., Luhr J.F., Post J., "Low water contents in pyroxenes from spinel-peridotites of the oxidized, sub-arc mantle wedge", Earth and Planetary Science Letters 201(2002) 69-86.

[20] Turner S., Regelous M., Hawkesworth C., Rostami K., "Partial melting processes above subducting plates: Constraints from 231Pa-235U disequilibria", Geochimica et Cosmochimica Acta 70 (2006) 480-503.

[21] Plank T., Langmuir C.H., "The chemical composition of subducting sediment and its consequences for the crust and mantle", Chemical Geology 145 (1998) 325-394.

ارزشمند داوران محترم مجله‌ی بلورشناسی و کانی‌شناسی ایران قدردانی می‌کنیم. از فرمانداری محترم کاشان که امکانات اقامت شبانه را طی عملیات صحرایی فراهم کرده‌اند نهایت سپاس را داریم.

#### مراجع

[۱] آقابات‌ی ع.، "زمین‌شناسی ایران"، سازمان زمین‌شناسی و اکتشافات معدنی کشور، (۱۳۸۳) ۵۸۶ صفحه.

[۲] قلمقاش ج.، باباخانی ع. ر.، "نقشه زمین‌شناسی چهارگوش کهک"، مقیاس ۱/۱۰۰۰۰۰، سازمان زمین‌شناسی کشور، (۱۳۷۷).

[3] Forster H., Fesefeldt K., Kursten M., "Magmatic and orogenic evolution of the central Iranian volcanic belt", 24th International Geology Congress 2 (1972) 198-210.

[4] Jung D., Kursten M., Tarkian M., "Post-Mesozoic volcanism in Iran and its relation to the subduction of the Afro-Arabian under the Eurasian plate. In: Pilger A., Rosler A., (Eds.), Afar between continental and oceanic rifting", Schweizerbartsche Verlagbuchhandlung Stuttgart (1976) 175-181.

[5] Berberian F., Muir I.D., Pankhurst R.J., Berberian M., "Late Cretaceous and early Miocene Andean type plutonic activity in northern Makran and central Iran", Journal of Geological Society of London 139 (1982) 605-614.

[6] Ahmad T., Posht Kuhi M., "Geochemistry and petrogenesis of Urumiah-Dokhtar volcanics around Nain and Rafsanjan areas", Treatise on the Geology of Iran, Iranian Ministry of Mines and Metals (1993) 90pp.

[7] Hassanzadeh J., "Metallogenic and tectonomagmatic events in the SE sector of the Cenozoic active continental margin of Iran (Shahre Babak area, Kerman Province)", Ph.D thesis, University of California Los Angeles (1993) 204pp.

[8] Moradian A., "Geochemistry, geochronology and petrography of feldspathoid bearing rocks in Urumieh-Dokhtar volcanic belt, Iran", Ph.D thesis, University of Wollongong Australia (1997) 412 pp.

[9] Ghasemi A., Talbot C.J., "A new scenario for the Sanandaj-Sirjan zone (Iran)", Journal of Asian Earth Sciences 26 (2006) 683-693.

[10] Amidi S.M., Emami M.H., Michel R., "Alkaline character of Eocene volcanism in the

- [28] Brown G.C., Thorpe R.S., Webb P.C., "The geochemical characteristics of granitoids in contrasting arcs and comments on magma sources", *Journal of Geological Society London* 141 (1984) 413-426.
- [29] Shahabpour J., "Island-arc affinity of the Central Iranian Volcanic Belt", *Journal of Asian Earth Sciences* 30 (2007) 652-665.
- [30] Fernandez M., Ayala C., Skogseld J., Vergés J., Wheeler W., Karpuz R., "Crustal and lithospheric structure in the Zagros folds and thrust belt: a geological and geophysical approach", In: AAPG international conference & exhibition, Barcelona (2003).
- [31] Stern R.J., "Subduction zones", *Reviews of Geophysics* 40, 4 (2002) 1-38.
- [32] Drummond M.S., Defant M.J., "A model for trondhjemite-tonalite-dacite genesis and crustal growth via slab melting: Archean to modern comparisons", *Journal of Geophysics* 95, (B13) (1990) 21503-21521.
- [33] Sun S., McDonough W.F., "Chemical and isotopic systematics of oceanic basalts: implications for mantle composition and processes. In: Saunders, A.D., Norry, M.J., (Eds.), *Magmatism in the Ocean Basins*", Special Publication 42, Geological Society of London (1989) 313-345.
- [22] Hermann J., "Allanite: Thorium and light rare earth element carrier in subducted crust", *Chemical Geology* 192 (2002) 289-306.
- [23] Hawkesworth C.J., Turner S., Peate D., McDermott F., Calsteren P.van., "Elemental U and Th variations in island arc rocks: implications for U-series isotopes", *Chemical Geology* 139 (1997) 207-221.
- [24] Elliott T., "Fractionation of U and Th during mantle melting; a reprise", *Chemical Geology* 139 (1997) 165-183.
- [25] Turner S., Bourdon B., Hawkesworth C., Evans P., "<sup>226</sup>Ra-<sup>230</sup>Th evidence for multiple dehydration events, rapid melt ascent and the time scales of differentiation beneath the Tonga-Kermadec island arc", *Earth and Planetary Science Letters* 179 (2000) 581-593.
- [26] Cameron B.I., Walker J.A., Carr M.J., Patino L.C., Matias O., Feigenson M.D., "Flux versus decompression melting at stratovolcanoes in southeastern Guatemala", *Journal of Volcanology and Geothermal Research* 119 (2002) 21-50.
- [27] Pearce J.A., "Role of sub-continental lithosphere in magma genesis at active continental margins. In: Hawkesworth C.J., Nurry M.L., (Eds.), *Continental Basalts and Mantle Xenoliths*", Shiva, Nantwich (1983) 230-249.
- [34]